

1 Punto materiale iperelastico lineare

Un punto materiale elastico lineare \mathbf{p} , si dice *iperelastico* se esiste una funzione scalare $\pi(\boldsymbol{\epsilon}, \mathbf{p})$ tale che

$$\frac{\partial \pi(\boldsymbol{\epsilon}, \mathbf{p})}{\partial \boldsymbol{\epsilon}} = \boldsymbol{\sigma} \quad (1)$$

La funzione scalare $\pi(\boldsymbol{\epsilon}, \mathbf{p})$ è la densità di energia potenziale elastica (spesso indicata anche come energia di deformazione elastica).

Poiché fra sforzo e deformazione esiste una relazione lineare, si può scrivere

$$\boldsymbol{\sigma} = \mathbb{C}[\boldsymbol{\epsilon}] \quad \text{e, in forma scalare} \quad \sigma_{ij} = \mathbb{C}_{ijkl} \epsilon_{kl} \quad (2)$$

\mathbb{C} si può rappresentare con una matrice quadrata di nove righe (tante quante sono le componenti di $\boldsymbol{\sigma}$) e nove colonne (tante quante sono le componenti di $\boldsymbol{\epsilon}$) ovvero con 81

In realtà, $\boldsymbol{\sigma}$ e $\boldsymbol{\epsilon}$ hanno solo 6 componenti indipendenti ciascuno, per cui i di \mathbb{C} si riducono, solo per questo, a 36.

Inoltre, tenendo presente la (1) e la (2)₂ si ottiene

$$\frac{\partial \pi}{\partial \epsilon_{ij}} = \sigma_{ij} = \mathbb{C}_{ijkl} \epsilon_{kl} \quad (3)$$

e pertanto

$$\mathbb{C}_{ijkl} = \frac{\partial \pi}{\partial \epsilon_{ij} \partial \epsilon_{kl}} \quad (4)$$

Ora, ricordando la proprietà di simmetria della derivata mista di una funzione di più variabili,

$$\frac{\partial \pi}{\partial \epsilon_{ij} \partial \epsilon_{kl}} = \frac{\partial \pi}{\partial \epsilon_{kl} \partial \epsilon_{ij}} \quad \Rightarrow \quad \mathbb{C}_{ijkl} = \mathbb{C}_{klij} \quad (5)$$

e osservando che la (2)₂ si rappresenta nella forma

$$\begin{pmatrix} \sigma_{11} \\ \sigma_{22} \\ \sigma_{33} \\ \sigma_{12} \\ \sigma_{13} \\ \sigma_{23} \end{pmatrix} = \begin{pmatrix} \mathbb{C}_{1111} & \mathbb{C}_{1122} & \cdots & \mathbb{C}_{1123} \\ \mathbb{C}_{2211} & \mathbb{C}_{2222} & \cdots & \mathbb{C}_{2223} \\ \vdots & \vdots & & \vdots \\ \mathbb{C}_{2311} & \mathbb{C}_{2322} & \cdots & \mathbb{C}_{2323} \end{pmatrix} \begin{pmatrix} \epsilon_{11} \\ \epsilon_{22} \\ \epsilon_{33} \\ \epsilon_{12} \\ \epsilon_{13} \\ \epsilon_{23} \end{pmatrix} \quad (6)$$

per la $(4)_2$ risulta simmetrica (per es. $\mathbb{C}_{1122} = \mathbb{C}_{2211}$) e quindi i suoi coefficienti indipendenti sono $6 \times (6 + 1)/2 = 21$.

2 Punto materiale elastico lineare isotropo

Si può dimostrare che la relazione costitutiva dipende da *due* costanti ed ha la forma

$$\boldsymbol{\sigma} = 2\mu\boldsymbol{\epsilon} + \lambda(\text{tr}\boldsymbol{\epsilon})\mathbf{I} \quad (7)$$

ove μ e λ sono le costanti di Lamé.

Utilizzando le componenti speciali dello sforzo, La (7) si scrive

$$\begin{pmatrix} \sigma_{11} & \sigma_{12} & \sigma_{13} \\ \sigma_{21} & \sigma_{22} & \sigma_{23} \\ \sigma_{31} & \sigma_{32} & \sigma_{33} \end{pmatrix} = 2\mu \begin{pmatrix} \epsilon_{11} & \epsilon_{12} & \epsilon_{13} \\ \epsilon_{21} & \epsilon_{22} & \epsilon_{23} \\ \epsilon_{31} & \epsilon_{32} & \epsilon_{33} \end{pmatrix} + \lambda(\epsilon_{11} + \epsilon_{22} + \epsilon_{33}) \begin{pmatrix} 1 & \cdot & \cdot \\ \cdot & 1 & \cdot \\ \cdot & \cdot & 1 \end{pmatrix} \quad (8)$$

che, scritta nella forma (6) è

$$\begin{pmatrix} \sigma_{11} \\ \sigma_{22} \\ \sigma_{33} \\ \sigma_{12} \\ \sigma_{13} \\ \sigma_{23} \end{pmatrix} = \begin{pmatrix} 2\mu + \lambda & \lambda & \lambda & \cdot & \cdot & \cdot \\ \lambda & 2\mu + \lambda & \lambda & \cdot & \cdot & \cdot \\ \lambda & \lambda & 2\mu + \lambda & \cdot & \cdot & \cdot \\ \cdot & \cdot & \cdot & \mu & \cdot & \cdot \\ \cdot & \cdot & \cdot & \cdot & \mu & \cdot \\ \cdot & \cdot & \cdot & \cdot & \cdot & \mu \end{pmatrix} \begin{pmatrix} \epsilon_{11} \\ \epsilon_{22} \\ \epsilon_{33} \\ \epsilon_{12} \\ \epsilon_{13} \\ \epsilon_{23} \end{pmatrix} \quad (9)$$

La (7) si può invertire facilmente osservando che, in 3D, $\text{tr}\mathbf{I} = 3$, e che

$$\text{tr}\boldsymbol{\sigma} = (2\mu + 3\lambda)\text{tr}\boldsymbol{\epsilon} \quad (10)$$

per cui

$$\boldsymbol{\epsilon} = \frac{1}{2\mu} \left[\boldsymbol{\sigma} - \frac{\lambda}{2\mu + 3\lambda} (\text{tr}\boldsymbol{\sigma})\mathbf{I} \right] \quad (11)$$

che, nella forma corrispondente a (12), si scrive

$$\begin{pmatrix} \epsilon_{11} \\ \epsilon_{22} \\ \epsilon_{33} \\ \epsilon_{12} \\ \epsilon_{13} \\ \epsilon_{23} \end{pmatrix} = \begin{pmatrix} \frac{\mu + \lambda}{\mu(2\mu + 3\lambda)} & -\frac{\lambda}{2\mu(2\mu + 3\lambda)} & -\frac{\lambda}{2\mu(2\mu + 3\lambda)} & \cdot & \cdot & \cdot \\ -\frac{\lambda}{2\mu(2\mu + 3\lambda)} & \frac{\mu + \lambda}{\mu(2\mu + 3\lambda)} & -\frac{\lambda}{2\mu(2\mu + 3\lambda)} & \cdot & \cdot & \cdot \\ -\frac{\lambda}{2\mu(2\mu + 3\lambda)} & -\frac{\lambda}{2\mu(2\mu + 3\lambda)} & \frac{\mu + \lambda}{\mu(2\mu + 3\lambda)} & \cdot & \cdot & \cdot \\ \cdot & \cdot & \cdot & \frac{1}{2\mu} & \cdot & \cdot \\ \cdot & \cdot & \cdot & \cdot & \frac{1}{2\mu} & \cdot \\ \cdot & \cdot & \cdot & \cdot & \cdot & \frac{1}{2\mu} \end{pmatrix} \begin{pmatrix} \sigma_{11} \\ \sigma_{22} \\ \sigma_{33} \\ \sigma_{12} \\ \sigma_{13} \\ \sigma_{23} \end{pmatrix}$$

(12)

Si consideri il caso dello *stato di sforzo uniassiale* e si ponga

$$(\boldsymbol{\sigma}) = \begin{pmatrix} \sigma & \cdot & \cdot \\ \cdot & \cdot & \cdot \\ \cdot & \cdot & \cdot \end{pmatrix} \quad (13)$$

dalla (11) si ottiene

$$(\boldsymbol{\epsilon}) = \begin{pmatrix} \epsilon & \cdot & \cdot \\ \cdot & -\nu\epsilon & \cdot \\ \cdot & \cdot & -\nu\epsilon \end{pmatrix} \quad (14)$$

con

$$\epsilon = \frac{1}{E}\sigma \quad (15)$$

e

$$E = \frac{\mu(2\mu + 3\lambda)}{\mu + \lambda}, \quad \nu = \frac{\lambda}{2(\mu + \lambda)} \quad (16)$$

Dalle (16) si ottiene

$$\lambda = \frac{\nu}{1 - 2\nu}2\mu$$

$$\frac{\nu}{E} = \frac{\lambda}{2\mu(2\mu + 3\lambda)} \quad (17)$$

Utilizzando la (17)₁, poi, risulta

$$2\mu + 3\lambda = 2\mu \frac{1 + \nu}{1 - 2\nu}$$

$$\mu + \lambda = \frac{\mu}{1 - 2\nu}$$

che, sostituite nella (16)₁, danno

$$E = 2\mu(1 + \nu) \quad (18)$$

per cui, in definitiva, le espressioni di μ , λ , in funzione di E , ν , sono

$$\mu = \frac{E}{2(1+\nu)}, \quad \lambda = \frac{\nu E}{(1+\nu)(1-2\nu)} \quad (19)$$

Pertanto si può scrivere

$$\boldsymbol{\epsilon} = \frac{1}{E} [(1+\nu)\boldsymbol{\sigma} - \nu(\text{tr}\boldsymbol{\sigma})\mathbf{I}] \quad (20)$$

Dalla (20) si ottiene

$$\text{tr}\boldsymbol{\epsilon} = \frac{1-2\nu}{E} \text{tr}\boldsymbol{\sigma} \quad \Rightarrow \quad \text{tr}\boldsymbol{\sigma} = \frac{E}{1-2\nu} \text{tr}\boldsymbol{\epsilon} \quad (21)$$

e quindi

$$\boldsymbol{\sigma} = \frac{E}{1+\nu} \left[\boldsymbol{\epsilon} + \frac{\nu}{1-2\nu} (\text{tr}\boldsymbol{\epsilon})\mathbf{I} \right] \quad (22)$$

Si osservi che nel caso di *deformazione monoassiale*, ad esempio $\epsilon_{11} = \epsilon$, $\epsilon_{22} = \epsilon_{33} = 0$, dalla (22) si ottiene

$$\sigma_{11} = \frac{1-\nu}{(1+\nu)(1-2\nu)} E \epsilon_{11} \quad (23)$$

$$\sigma_{22} = \sigma_{33} = \frac{\nu}{(1+\nu)(1-2\nu)} E \epsilon_{11} \quad (24)$$

mentre la relazione $\boldsymbol{\sigma} = E\boldsymbol{\epsilon}$, corrispondente a uno *stato di sforzo uniassiale*, è associata allo stato di deformazione triassiale $\epsilon_{11} = \epsilon$, $\epsilon_{22} = \epsilon_{33} = \nu\epsilon$.

Si osservi che le relazioni (23) e (24) si possono scrivere nella forma

$$\sigma_{11} = E^* \epsilon_{11} \quad \text{con } E^* = \frac{1-\nu}{(1+\nu)(1-2\nu)} E \quad (25)$$

$$\sigma_{22} = \sigma_{33} = \frac{\nu}{(1-\nu)} E \epsilon_{11} \quad (26)$$

La relazione (25) è formalmente analoga a quella che caratterizza lo stato di sforzo monoassiale, con la sola differenza che il modulo di Young, E , è stato sostituito dalla costante E^* , che chiameremo modulo di Young *apparente*.

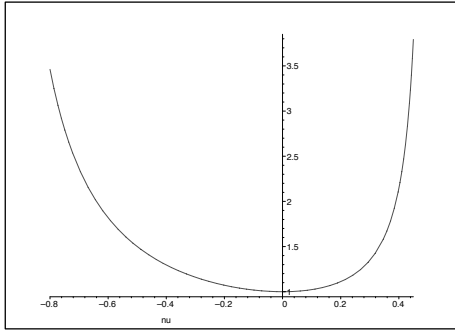


Figura 1: E^* in funzione di ν

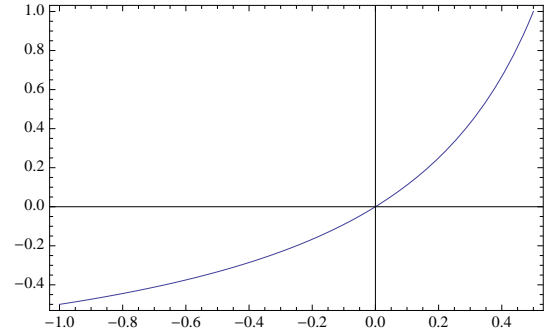


Figura 2: σ_{22} in funzione di σ_{11}

Ora è interessante notare che per i materiali più comuni $\nu \simeq 0.3$ per cui $E^* \simeq 1.4E$, ovvero il materiale esibisce un modulo elastico apparente *maggiore* di E , ovvero appare più *rigido*. Questo effetto è denominato di *confinamento*.

Nella Figura 2 viene mostrato il grafico delle funzioni (25), 26, ricordando che ν può assumere valori nell'intervallo $(-1, 0.5)$.

*

Si consideri ora il campo dello spostamento

$$\begin{aligned}
 u_1(p) &= \frac{k}{2}[x_3^2 + \nu(x_1^2 - x_2^2)] \\
 u_2(p) &= k\nu x_1 x_2 \\
 u_3(p) &= -kx_1 x_3
 \end{aligned} \tag{27}$$

Risulta

$$(\epsilon) = \begin{pmatrix} \nu k x_1 & \cdot & \cdot \\ \cdot & \nu k x_1 & \cdot \\ \cdot & \cdot & -k x_1 \end{pmatrix} \tag{28}$$

per cui

$$\begin{aligned}
 \text{tr} \epsilon &= -(1 - 2\nu)k x_1 \\
 \frac{\nu}{1 - 2\nu} \text{tr} \epsilon &= -\nu k x_1
 \end{aligned} \tag{29}$$

e quindi

$$(\boldsymbol{\sigma}) = \frac{E}{1+\nu} \left[\begin{pmatrix} \nu kx_1 & \cdot & \cdot \\ \cdot & \nu kx_1 & \cdot \\ \cdot & \cdot & -kx_1 \end{pmatrix} + \begin{pmatrix} -\nu kx_1 & \cdot & \cdot \\ \cdot & -\nu kx_1 & \cdot \\ \cdot & \cdot & -kx_1 \end{pmatrix} \right]$$

ovvero

$$\sigma_{33} = -Ekx_1 \quad \Rightarrow \quad \sigma_{ij} = 0 \quad \forall (i, j) \neq (3, 3) \quad (30)$$

Il risultato ottenuto è visualizzato nella Figura 4 che rappresenta lo stato di sforzo al bordo di un dominio a forma di prisma a base rettangolare.

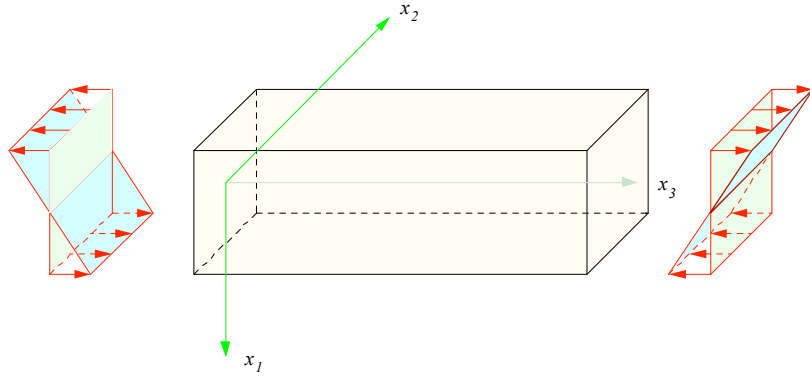


Figura 3: Rappresentazione dello stato di sforzo

Usando le costanti di Lamé, si ottiene

$$(\boldsymbol{\sigma}) = 2\mu \begin{pmatrix} \nu kx_1 & \cdot & \cdot \\ \cdot & \nu kx_1 & \cdot \\ \cdot & \cdot & -kx_1 \end{pmatrix} - \lambda(1-2\nu) \begin{pmatrix} kx_1 & \cdot & \cdot \\ \cdot & kx_1 & \cdot \\ \cdot & \cdot & kx_1 \end{pmatrix} \quad (31)$$

Ricordando la (17)₁ e osservando che $\lambda(1-2\nu) = 2\mu\nu$, si ottiene

$$\sigma_{33} = -\mu \frac{2\mu + 3\lambda}{\mu + \lambda} kx_1 \quad \Rightarrow \quad \sigma_{ij} = 0 \quad \forall (i, j) \neq (3, 3) \quad (32)$$

3 Compressione e componente tangenziale

Si consideri un punto in cui agisce uno stato di sforzo composto da compressione e taglio, vedi Figura 4. La matrice che lo rappresenta è

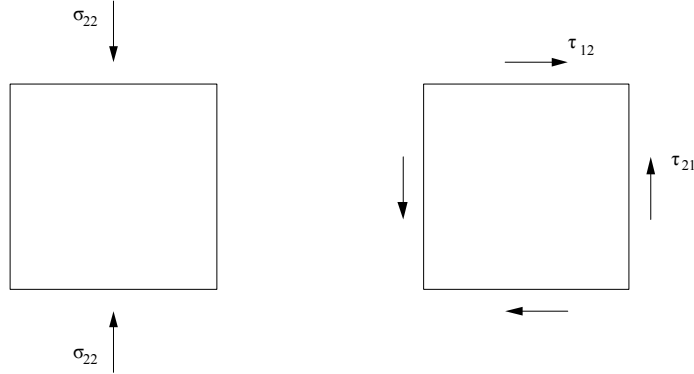


Figura 4: Stato di sforzo composto

$$(\boldsymbol{\sigma}) = \begin{pmatrix} \cdot & \tau \\ \tau & -p \end{pmatrix} \quad (33)$$

Cerchiamo le tensioni e le direzioni principali. Per questo bisogna risolvere il seguente problema agli autovalori

$$(\boldsymbol{\sigma} - \lambda \mathbf{I}) \mathbf{n} = \begin{pmatrix} -\lambda & \tau \\ \tau & -\lambda - p \end{pmatrix} \begin{pmatrix} n_1 \\ n_2 \end{pmatrix} = \mathbf{0} \quad (34)$$

Si ricava facilmente che i due autovalori sono

$$\begin{aligned} \lambda_1 &= \frac{-p + \sqrt{p^2 + 4\tau^2}}{2} \\ \lambda_2 &= \frac{-p - \sqrt{p^2 + 4\tau^2}}{2} \end{aligned} \quad (35)$$

Sostituendo λ_1 nella (34) si ottiene

$$-\frac{-p + \sqrt{p^2 + 4\tau^2}}{2} n_1 + \tau n_2 = 0 \quad (36)$$

ovvero

$$\frac{n_2}{n_1} = \tan \alpha_1 = \frac{-p + \sqrt{p^2 + 4\tau^2}}{2\tau} \quad (37)$$

ove α_1 è l'angolo che \mathbf{n} forma con l'orizzontale. Analogamente, sostituendo λ_2 nella (34) si ottiene

$$\frac{n_2}{n_1} = \tan \alpha_2 = \frac{-p - \sqrt{p^2 + 4\tau^2}}{2\tau} \quad (38)$$

E' interessante vedere cosa succede quando $\tau \rightarrow 0$ e $\tau \rightarrow \infty$, che corrispondono ai casi di compressione uniassiale e taglio puro, rispettivamente. Poiché gli autovettori sono ortogonali, è sufficiente analizzare cosa succede in corrispondenza di un solo autovalore. Consideriamo per esempio la (38).

$$\lim_{\tau \rightarrow 0} \frac{-p - \sqrt{p^2 + 4\tau^2}}{2\tau} = \infty \quad \Rightarrow \quad \alpha_1 \rightarrow \frac{\pi}{2} \quad (39)$$

mentre

$$\lim_{\tau \rightarrow \infty} \frac{-p - \sqrt{p^2 + 4\tau^2}}{2\tau} \quad (40)$$

è una forma indeterminata. Per risolverla, si consideri la forma equivalente

$$\begin{aligned} \lim_{\tau \rightarrow \infty} \frac{-p - \sqrt{p^2 + 4\tau^2}}{2\tau} \frac{-p + \sqrt{p^2 + 4\tau^2}}{-p + \sqrt{p^2 + 4\tau^2}} &= \lim_{\tau \rightarrow \infty} \frac{-4\tau^2}{2\tau(-p + \sqrt{p^2 + 4\tau^2})} \quad (41) \\ &= \lim_{\tau \rightarrow \infty} \frac{-2}{\frac{-p}{\tau} + \sqrt{\frac{p^2}{\tau^2} + 4}} = -1 \quad \Rightarrow \quad \alpha_1 \rightarrow -\frac{\pi}{4} \end{aligned}$$

La Figura (5) rappresenta la direzione delle direzioni di fessurazione al variare del rapporto τ/σ .

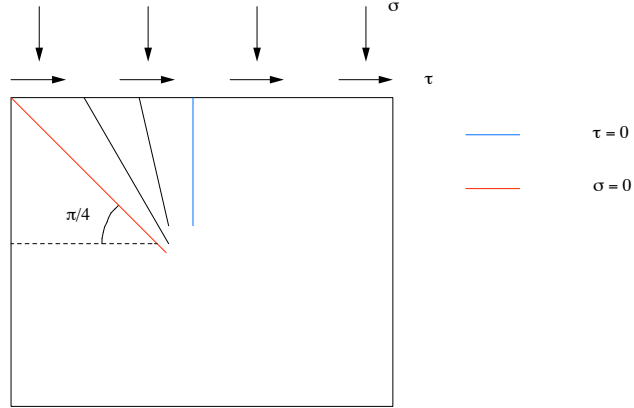


Figura 5: direzioni di fessurazione

E' interessante dare una rappresentazione grafica dei risultati precedenti. A tal fine, posto

$$\sqrt{p^2 + 4\tau^2} = p + k(\tau) \quad \text{ove } k(\tau) > 0 \quad \forall \tau \neq 0, \quad \tau = 0 \Rightarrow k(\tau) = 0 \quad (42)$$

si può scrivere

$$\begin{aligned} \lambda_1 &= k(\tau) \\ \lambda_1 &= -p - k(\tau) \end{aligned} \quad (43)$$

Le circonferenze di Mohr che rappresentano lo stato di sforzo al variare di τ avranno raggio lungo

$$\frac{1}{2}(\lambda_1 - \lambda_2) = \frac{p}{2} + k(\tau) \quad (44)$$

e centro di coordinate

$$\begin{aligned} c_1 &= \frac{1}{2}(\lambda_1 + \lambda_2) = -\frac{p}{2} \\ c_2 &= 0 \end{aligned} \quad (45)$$

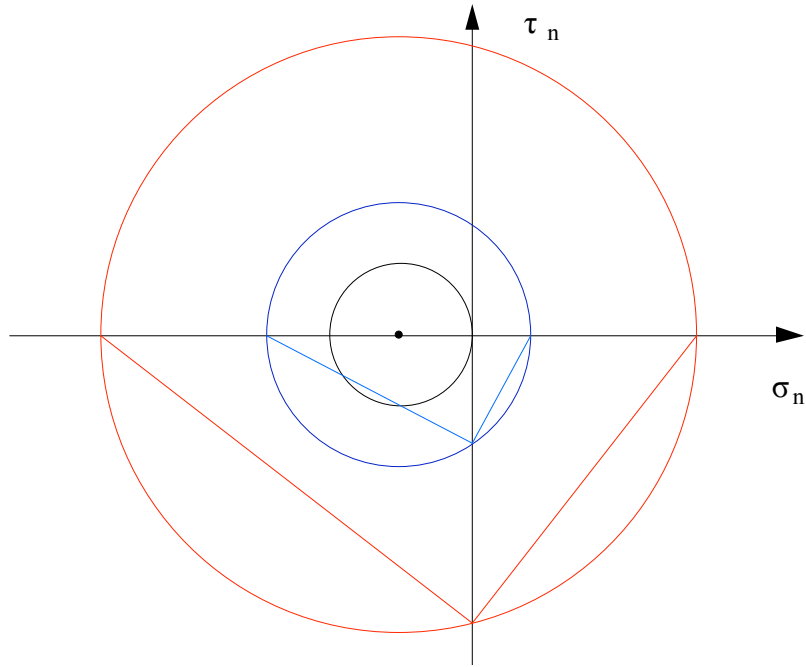


Figura 6: Circonferenze di Mohr

Dunque sono circonferenze concentriche il cui raggio cresce al crescere di τ . La Figura 6 mostra chiaramente come per $\tau = 0$ la circonferenza è tangente all'asse verticale, per $\tau \rightarrow \infty$ le direzioni principali tendono ad essere inclinate a 45° .

Si consideri ora il valore limite dello sforzo di trazione, e lo si indichi con σ^* . Ci chiediamo quale sia, assegnato p , il valore massimo dello sforzo tangenziale che si può applicare senza che vi sia rottura per trazione.

$$\begin{aligned}
 \sigma^* &= \frac{1}{2}(-p + \sqrt{p^2 + 4\tau^2}) \\
 2\sigma^* + p &= \sqrt{p^2 + 4\tau^2} \\
 (2\sigma^* + p)^2 &= p^2 + 4\tau^2 \\
 \tau &= \sqrt{\sigma^*(\sigma^* + p)}
 \end{aligned}
 \tag{46}$$